



Radiation Reaction  
Chemistry Group

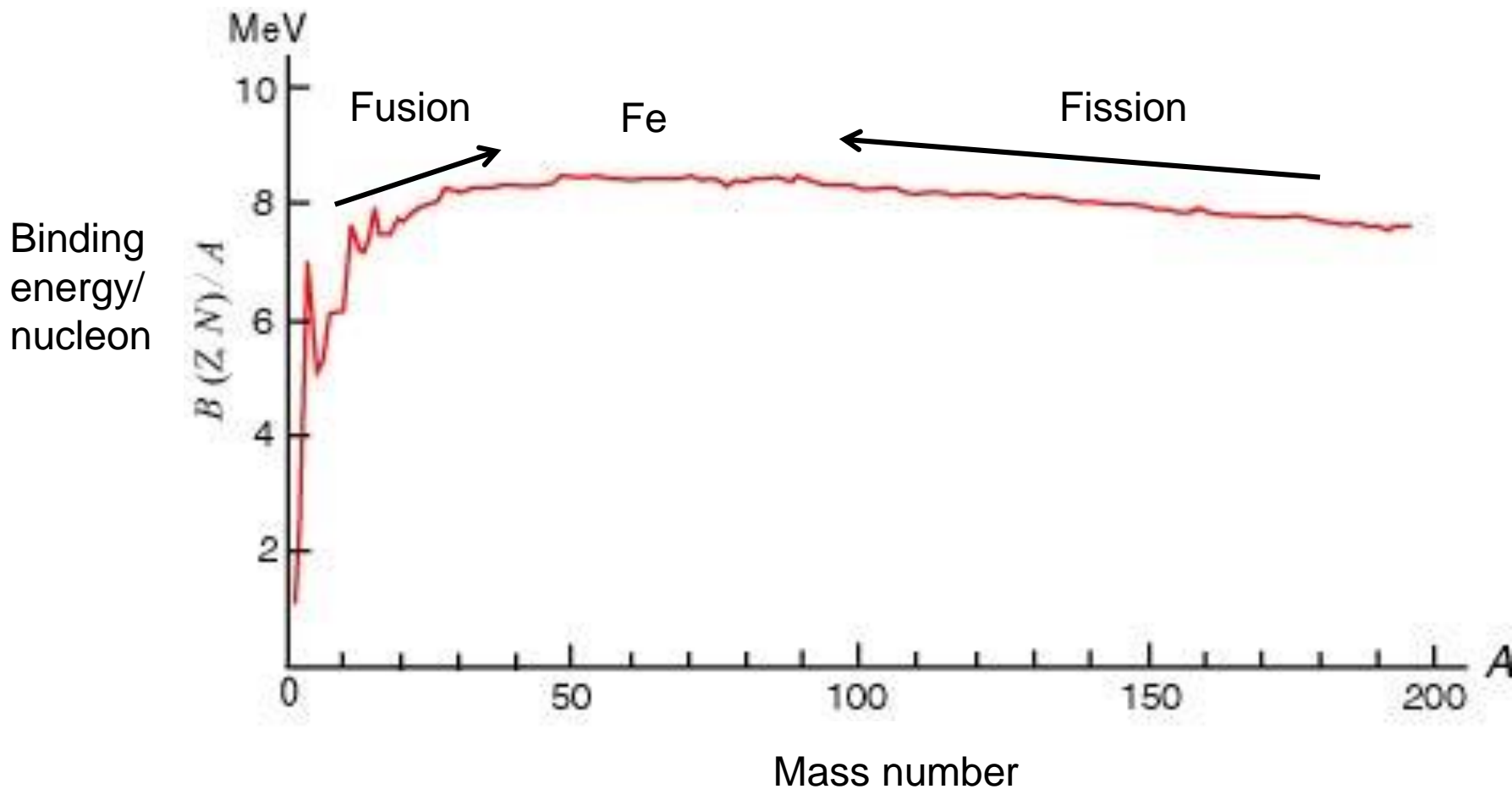
# 福島第一原子力発電所事故からの 復興と高レベル放射性廃液処理に 向けた基礎的研究

広島大学

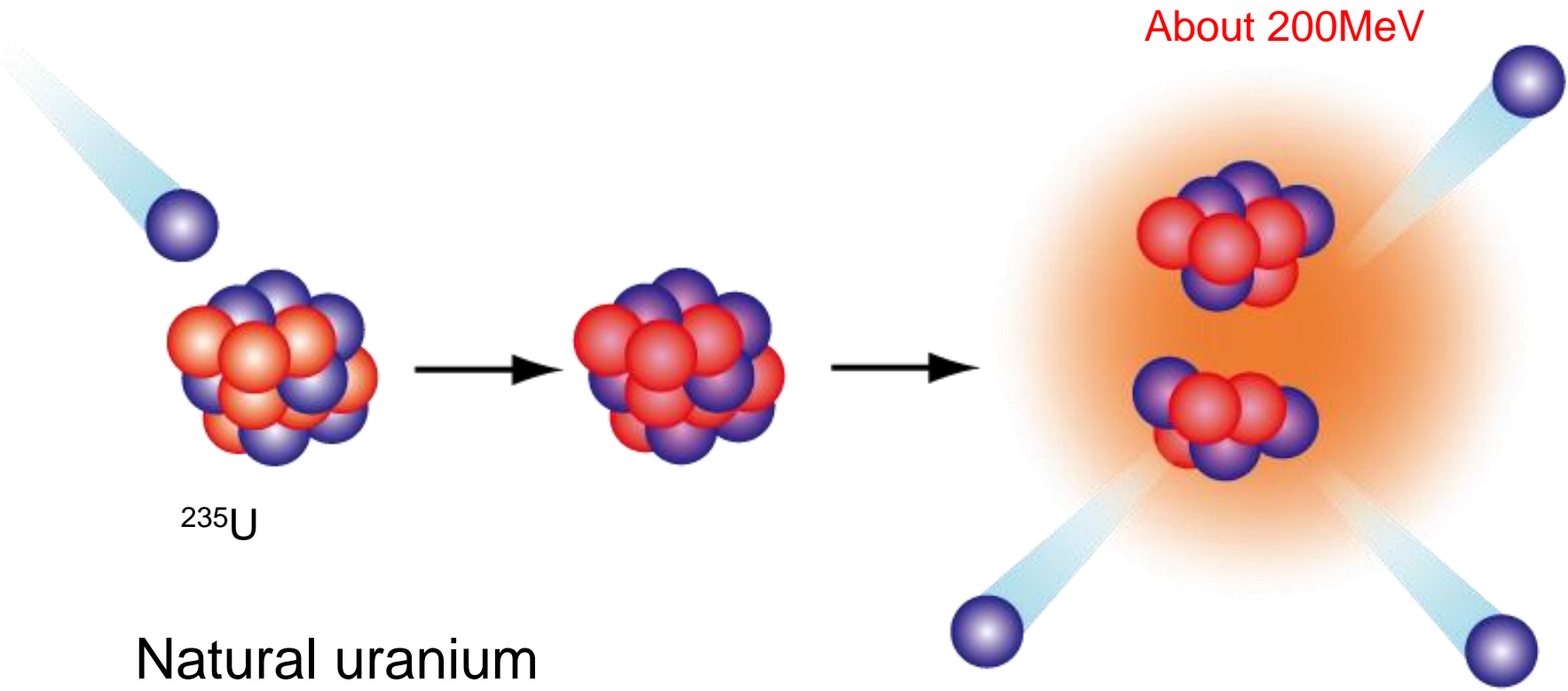
自然科学研究支援開発センター

中島 覚

# 核子1個あたりの結合エネルギー



# 誘導核分裂



$^{235}\text{U}$

Natural uranium  
 $^{238}\text{U}$ : 99.275 %  
 $^{235}\text{U}$ : 0.72 %

Enriched  $^{235}\text{U}$  is used in nuclear reactor.  
 $^{235}\text{U}$ : 3~5 %

Control material: boron carbide etc.



# 福島第一原子力発電所事故の影響

- Influence on environment
  - Contaminated→decontamination
  - Migration
  - Contaminated food→Social influence
- Influence on human body
  - Low dose rate exposure
- Social influence
  - Social restoration

# 内容

## 福島第一原子力発電所事故からの復興

- 移行

  - 日本海、オホーツク海での移行

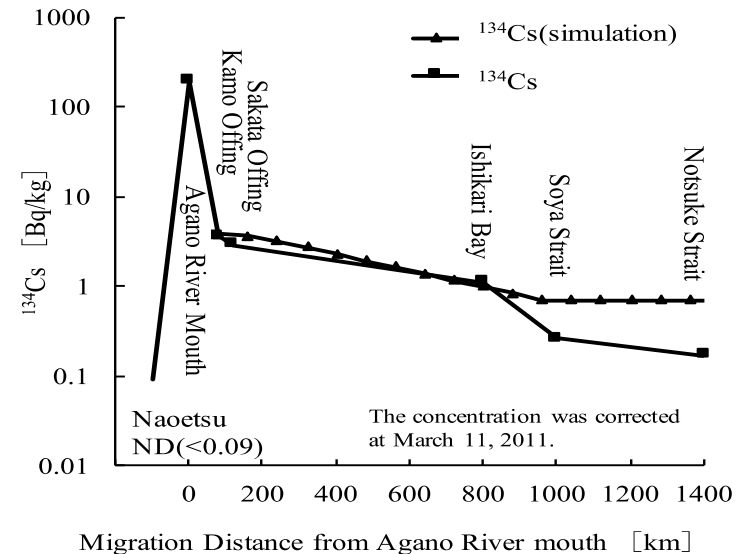
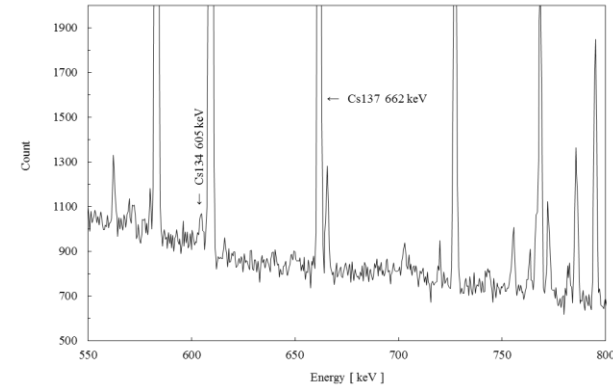
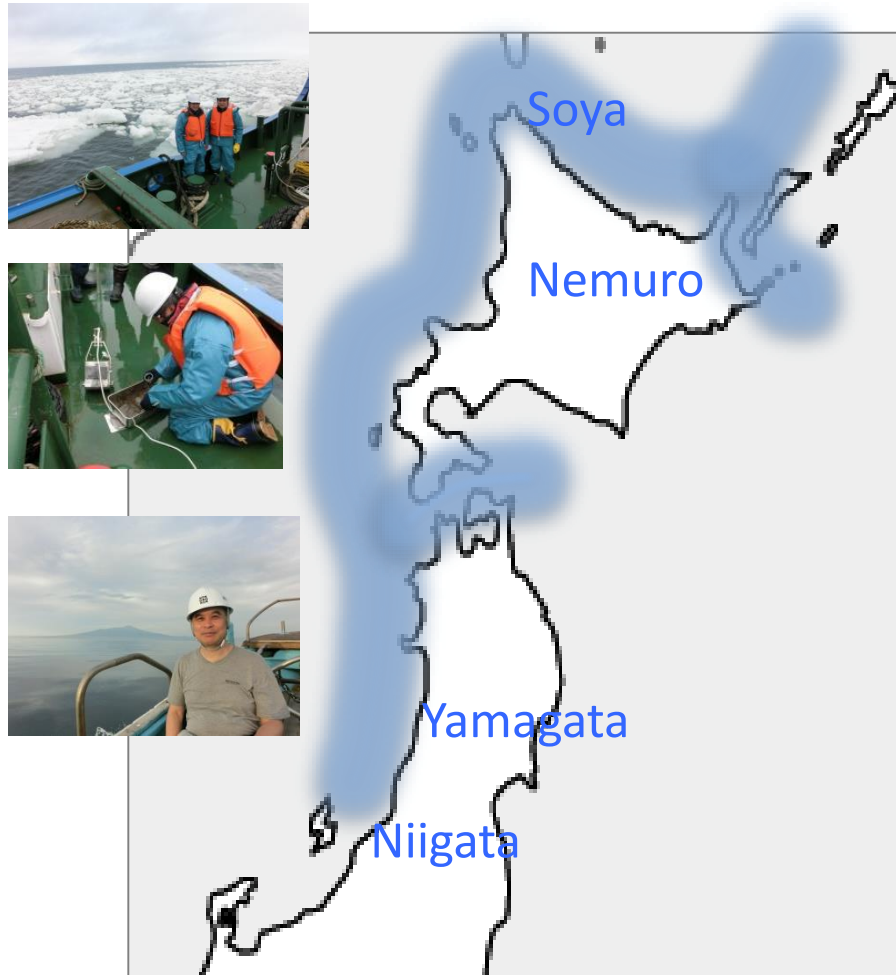
  - 池周りでの移行

- 米への取り込み

## 高レベル放射性廃液処理

- ランタノイドとマナーアクチノイドの分離

# 日本海、オホーツク海での $^{137}\text{Cs}$ の移行



- Y. Nabae, S. Miyashita, and S. Nakashima, *Radiation Safety Management*, **15**, 9-14 (2016).  
 Y. Nabae, S. Miyashita, and S. Nakashima, *Radiation Safety Management*, **16**, 8-12 (2017).  
 Y. Nabae, M. Tsujimoto, S. Miyashita, and S. Nakashima, *Radioisotopes*, **67**, 573-581 (2018).

# 桧原湖での $^{137}\text{Cs}$ の移行



\*) Soil concentration data is as of March 11, 2012, Source: <http://ramap.jmc.or.jp/map/eng/>

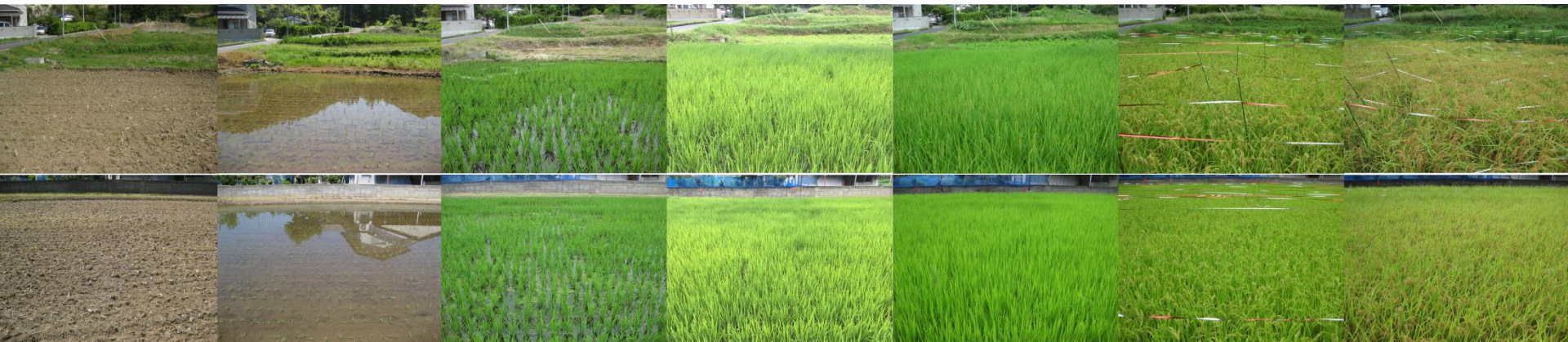
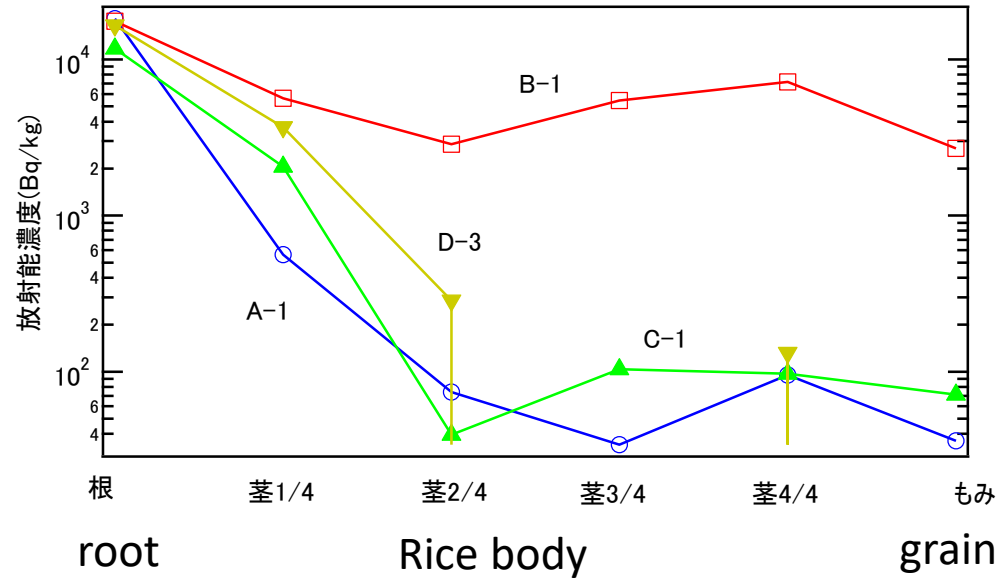
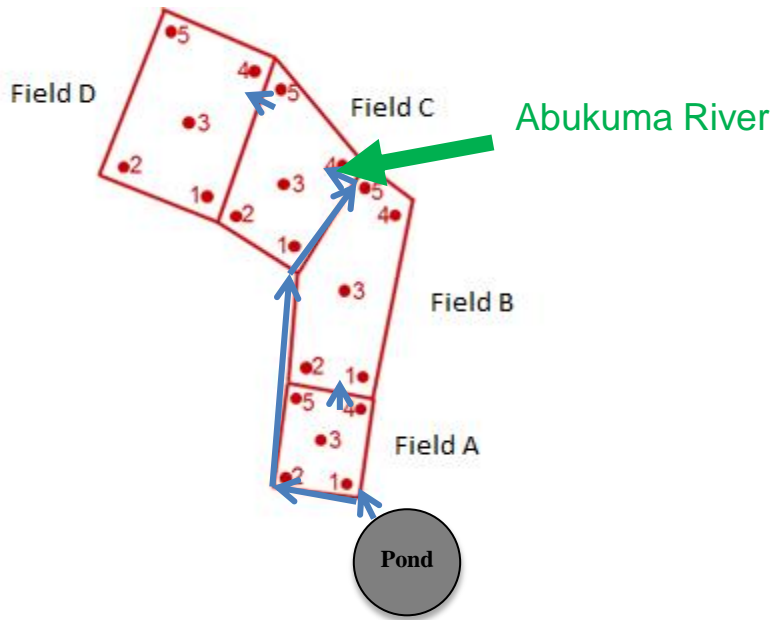


Sampling Area





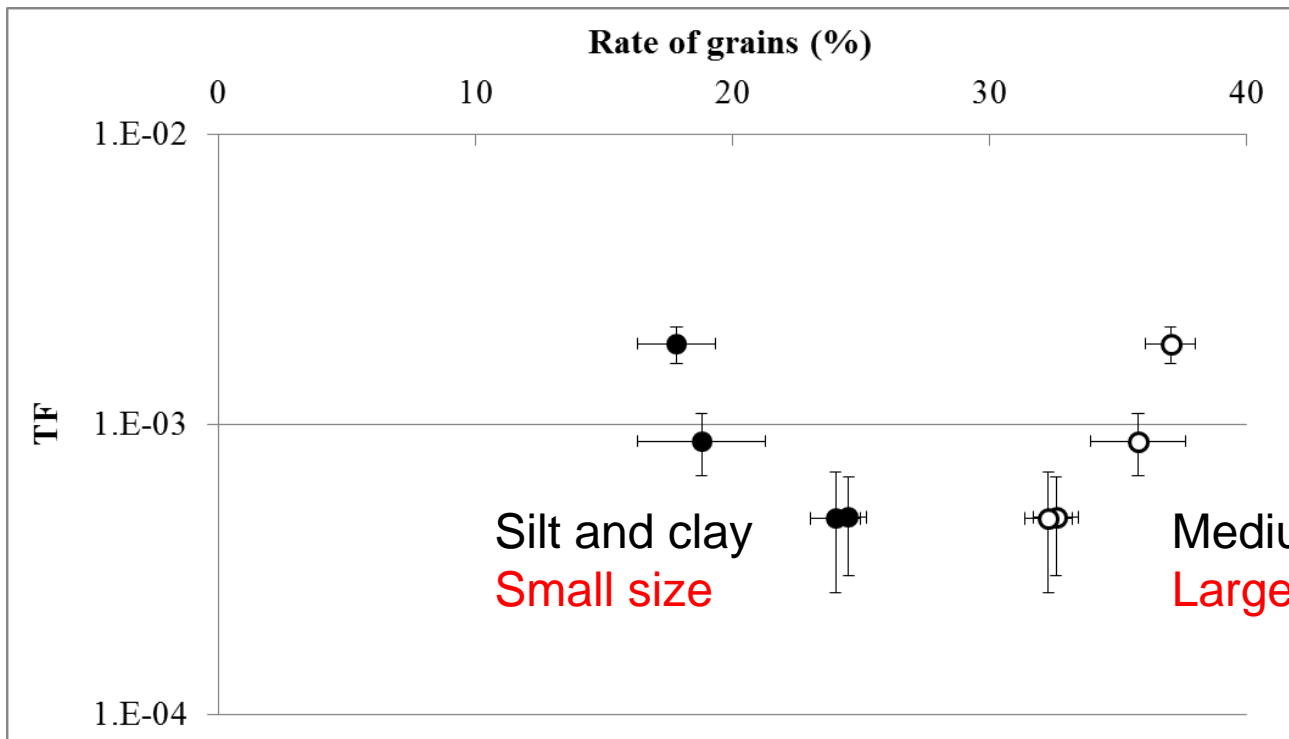
# 稲の $^{137}\text{Cs}$ 吸収





# 稲の $^{137}\text{Cs}$ 吸収

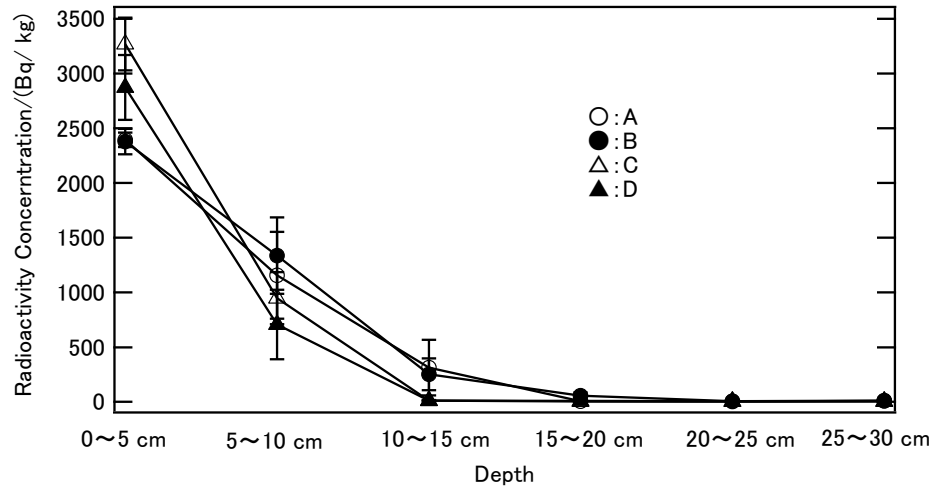
K concentration of Field was low in Field B. Other factors?



When the ratio of small size soil increases, the transfer factor decreases.

When the ratio of large size soil increases, transfer factor increases.

# 稲の $^{137}\text{Cs}$ 吸収



There is a difference between Fields A, B and Fields C, D.

The radioactivity of  $^{137}\text{Cs}$  for 0-5 cm depth is higher in Fields C and D than in Fields A and B, while the radioactivity for 5-10 cm is lower in Fields C and D than in Fields A and B.

$^{137}\text{Cs}$  penetrates to more depth in Fields A and B.

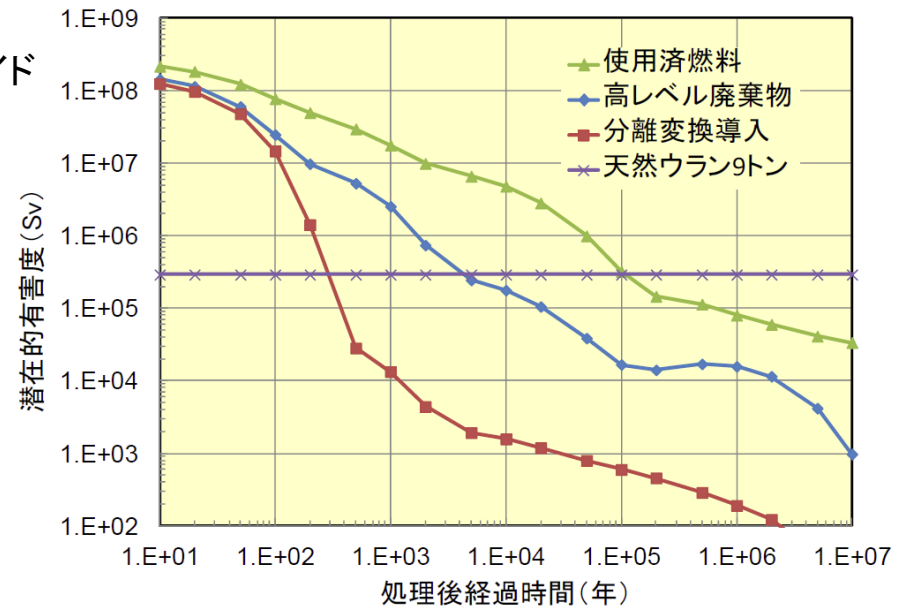
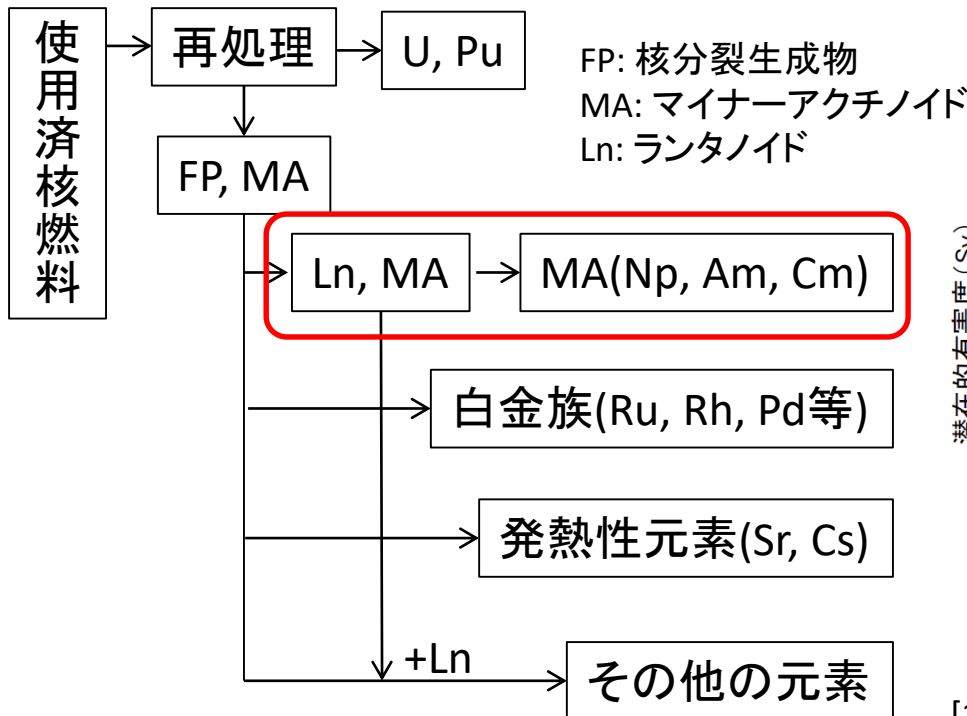
⇒ Soil situation is different between Fields A, B and Fields C, D.

# Ln/MAの化学分離 Introduction

## マイナーアクチノイド(MA)の分離・変換処分

### 分離・変換処分<sup>1</sup>

⇒高レベル放射性廃棄物に含まれる放射性核種をその半減期や利用目的に応じて分離するとともに、長寿命核種を短寿命核種あるいは非放射性核種に変換するための技術



[1] 大井川 宏之, “エネルギー問題に発言する会”, 2012.

# ランタノイドとアクチノイド

放射線反応化学研究グループの登場人物

1 H																	2 He																														
3 Li	4 Be											5 B	6 C	7 N	8 O	9 F	10 Ne																														
11 Na	12 Mg											13 Al	14 Si	15 P	16 S	17 Cl	18 Ar																														
19 K	20 Ca	21 Sc	22 Ti	23 V	24 Cr	25 Mn	26 Fe	27 Co	28 Ni	29 Cu	30 Zn	31 Ga	32 Ge	33 As	34 Se	35 Br	36 Kr																														
37 Rb	38 Sr	39 Y	40 Zr	41 Nb	42 Mo	43 Tc	44 Ru	45 Rh	46 Pd	47 Ag	48 Cd	49 In	50 Sn	51 Sb	52 Te	53 I	54 Xe																														
55 Cs	56 Ba	57-71 La-Lu	72 Hf	73 Ta	74 W	75 Re	76 Os	77 Ir	78 Pt	79 Au	80 Hg	81 Tl	82 Pb	83 Bi	84 Po	85 At	86 Rn																														
87 Fr	88 Ra	89-103 Ac-Lr	104 Rf	105 Db	106 Sg	107 Bh	108 Hs	109 Mt	110 Ds	111 Rg	112 Cn																																				
<table border="1"> <tbody> <tr> <td>57 La</td> <td>58 Ce</td> <td>59 Pr</td> <td>60 Nd</td> <td>61 Pm</td> <td>62 Sm</td> <td>63 Eu</td> <td>64 Gd</td> <td>65 Tb</td> <td>66 Dy</td> <td>67 Ho</td> <td>68 Er</td> <td>69 Tm</td> <td>70 Yb</td> <td>71 Lu</td> </tr> <tr> <td>89 Ac</td> <td>90 Th</td> <td>91 Pa</td> <td>92 U</td> <td>93 Np</td> <td>94 Pu</td> <td>95 Am</td> <td>96 Cm</td> <td>97 Bk</td> <td>98 Cf</td> <td>99 Es</td> <td>100 Fm</td> <td>101 Md</td> <td>102 No</td> <td>103 Lr</td> </tr> </tbody> </table>																		57 La	58 Ce	59 Pr	60 Nd	61 Pm	62 Sm	63 Eu	64 Gd	65 Tb	66 Dy	67 Ho	68 Er	69 Tm	70 Yb	71 Lu	89 Ac	90 Th	91 Pa	92 U	93 Np	94 Pu	95 Am	96 Cm	97 Bk	98 Cf	99 Es	100 Fm	101 Md	102 No	103 Lr
57 La	58 Ce	59 Pr	60 Nd	61 Pm	62 Sm	63 Eu	64 Gd	65 Tb	66 Dy	67 Ho	68 Er	69 Tm	70 Yb	71 Lu																																	
89 Ac	90 Th	91 Pa	92 U	93 Np	94 Pu	95 Am	96 Cm	97 Bk	98 Cf	99 Es	100 Fm	101 Md	102 No	103 Lr																																	

ランタノイドの電子配置  $[\text{Xe}]4f^n 6s^2$

アクチノイドの電子配置  $[\text{Rn}]5f^n 7s^2$

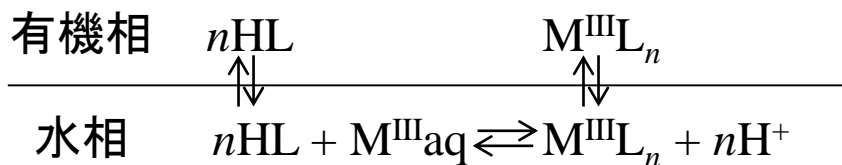
# Ln/MAの化学分離

## Introduction

La	Ce	Pr	Nd	Pm	Sm	Eu	Gd	Tb	Dy	Ho	Er	Tm	Yb	Lu
Ac	Th	Pa	U	Np	Pu	Am	Cm	Bk	Cf	Es	Fm	Md	No	Lr

### 錯形成によるLnとMAの化学分離

#### i) 溶媒抽出法



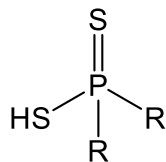
$$D_M = \frac{[\text{M}^{\text{III}}\text{L}_n]_o}{[\text{M}^{\text{III}}\text{aq}]_w}$$

$$SF_{\text{Am/Eu}} = \frac{D_{\text{Am}}}{D_{\text{Eu}}} = \frac{[\text{Eu}^{\text{III}}\text{L}_n]_o [\text{Am}^{\text{III}}\text{L}_n]_o}{[\text{Eu}^{\text{III}}\text{aq}]_w [\text{Am}^{\text{III}}\text{aq}]_w}$$

#### Ln, MAの類似性

- i) 溶液中でIII価が安定
- ii) 配位幾何学はほぼ同じ

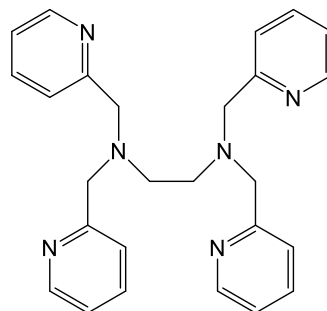
#### ii) ドナーによるEu/Am選択性の違い



Sドナー抽出剤  
ジチオホスフィン酸

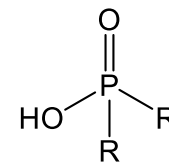
$$SF_{\text{Am/Eu}}$$

$$5.9 \times 10^3$$



Nドナー抽出剤  
TPEN

$$100$$



Oドナー抽出剤  
ホスフィン酸

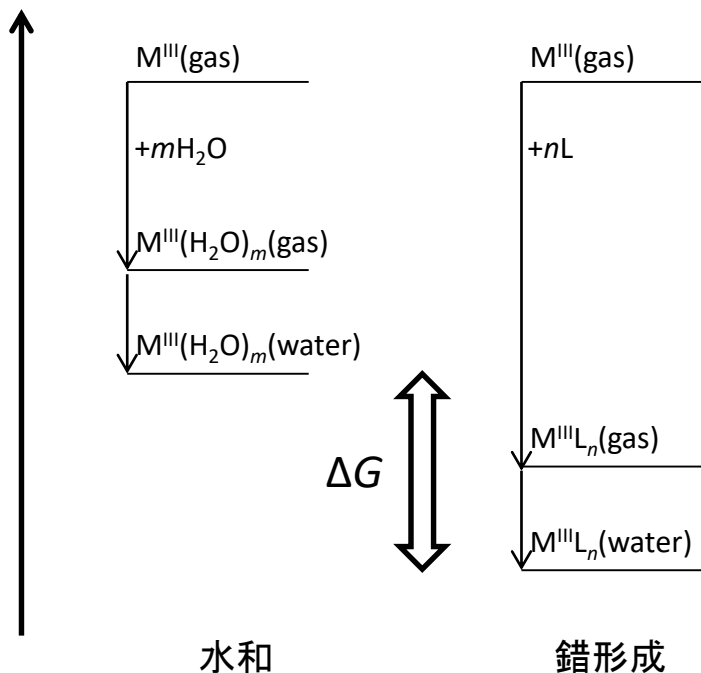
$$5.8 \times 10^{-2}$$



# Ln/MAの化学分離 Introduction

## Eu/Am分離に対するDFT研究

### i) 熱力学的観点

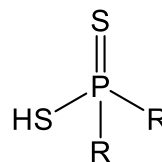


Ln, MAの類似性

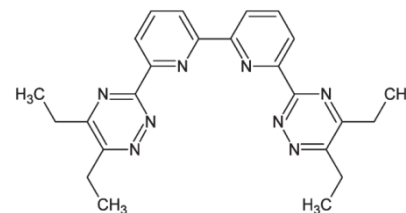
- i) 溶液中でIII価が安定
- ii) 配位幾何学はほぼ同じ

### ii) Eu/Am分離挙動

σドナー抽出剤



Nドナー抽出剤



水溶液中の錯形成エネルギーによって  
Ln/MAの安定性を評価

- 目的①: fブロック錯体の結合状態に対するDFTのベンチマーク研究を行う
- 目的②: Eu/Amのドナーによる選択性の違いに対する原因を探る

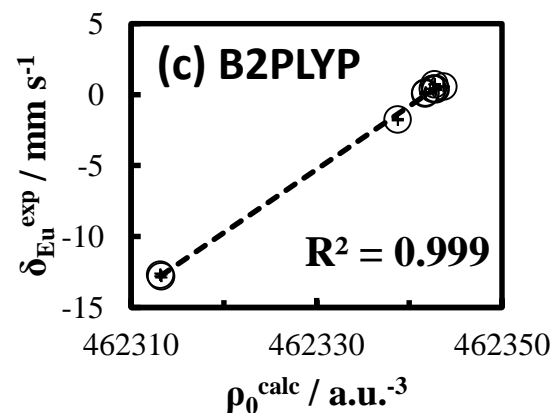
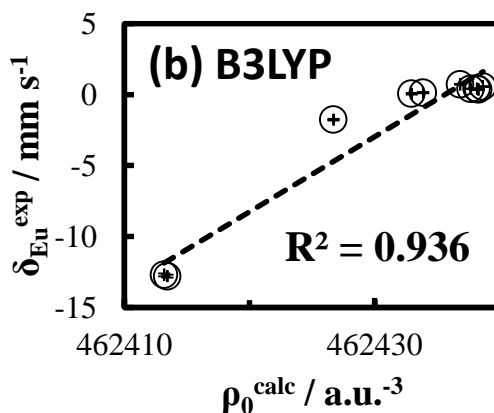
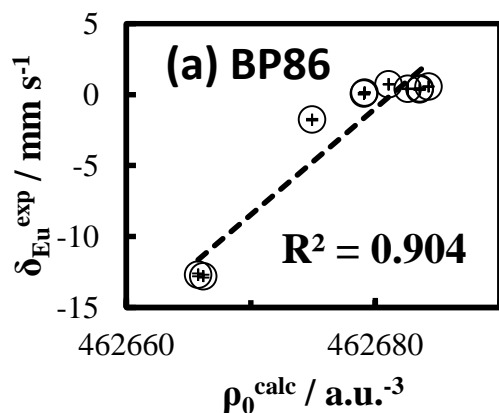
# Ln/MAの化学分離 Computational details

$^{151}\text{Eu}$ ベンチマーク研究

$$\delta = \frac{3Ze^2cR^2}{5\epsilon_0E_\gamma} \left( \frac{\Delta R}{R} \right) (\rho_0^A - \rho_0^S)$$

$$\delta^{\text{exp}} = a (\rho_0^{\text{calc}} - b)$$

Eu complexes	O. S.	$\delta_{\text{Eu}}^{\text{exp}} / \text{mm s}^{-1*}$
[EuCp* <sub>2</sub> (THF)]	II	-12.8(1) [4.2K]
[EuCp* <sub>2</sub> ]	II	-12.7(1) [4.2K]
[EuCp <sub>3</sub> (THF)]	III	-1.77(5) [4.2K]
[EuCpCl <sub>2</sub> (THF) <sub>3</sub> ]	III	0.06(5) [4.2K]
[EuCp(NCS) <sub>2</sub> (THF) <sub>3</sub> ]	III	0.14(5) [4.2K]
[Eu(acac) <sub>3</sub> (H <sub>2</sub> O) <sub>2</sub> ]	III	0.36(4) [4.2K]
[Eu(pta) <sub>3</sub> (H <sub>2</sub> O) <sub>2</sub> ]	III	0.42(4) [4.2K]
[Eu(NO <sub>3</sub> ) <sub>3</sub> (phen) <sub>2</sub> ]	III	0.41(2) [77K]
[EuCl <sub>3</sub> (phen) <sub>2</sub> ]	III	0.57(2) [77K]
[Eu(NCS) <sub>3</sub> (bipy) <sub>3</sub> ]	III	0.72(2) [77K]



Std. dev. / mms<sup>-1</sup>

1.60

1.32

0.20

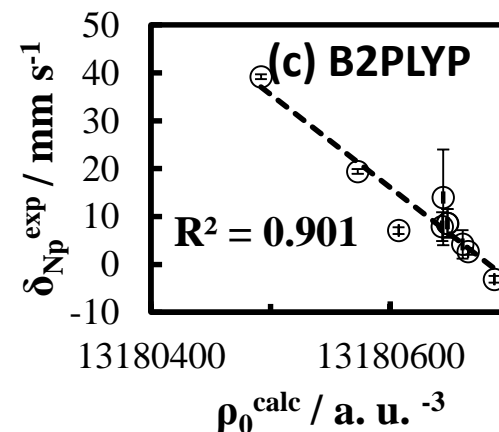
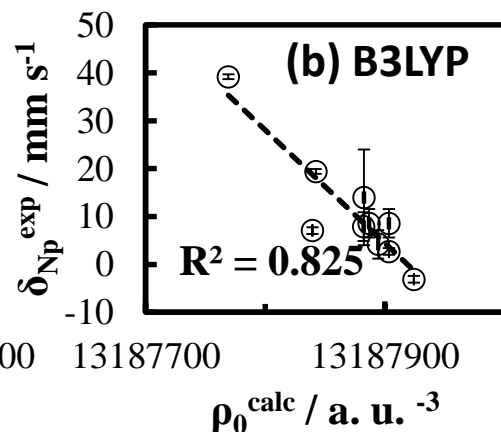
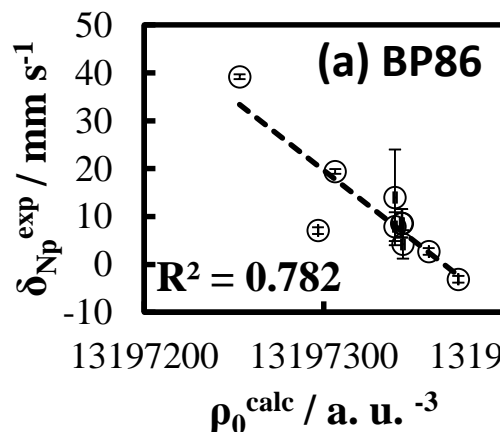
# Ln/MAの化学分離 Computational details

$^{237}\text{Np}$ ベンチマーク研究

$$\delta = \frac{3Ze^2cR^2}{5\epsilon_0E_\gamma} \left( \frac{\Delta R}{R} \right) (\rho_0^A - \rho_0^S)$$

$$\delta^{\text{exp}} = a (\rho_0^{\text{calc}} - b)$$

Np complexes	O. S.	$\delta_{\text{Np}}^{\text{exp}} / \text{mm s}^{-1*}$
$[\text{Np}^{\text{III}}(\text{COT})_2]^-$	III	39.2(5) [4.2K]
$[\text{Np}^{\text{IV}}(\text{COT})_2]$	IV	19.4(5) [4.2K]
$[\text{Np}^{\text{IV}}\text{Cp}_3\text{Cl}]$	IV	14(10) [4.2K]
$[\text{Np}^{\text{IV}}\text{Cp}_3\{\text{OCH}(\text{CH}_3)_2\}]$	IV	8.6(20) [4.2K]
$[\text{Np}^{\text{IV}}\text{Cp}_3\{\text{OC}(\text{CH}_3)_3\}]$	IV	8.6(30) [4.2K]
$[\text{Np}^{\text{IV}}\text{Cp}_3\{\text{OCH}(\text{CF}_3)_2\}]$	IV	7.9(20) [4.2K]
$[\text{Np}^{\text{IV}}\text{Cp}_4]$	IV	7.2(2) [4.2K]
$[\text{Np}^{\text{IV}}\text{Cp}_3(p\text{-CH}_3\text{C}_6\text{H}_4\text{CH}_2)]$	IV	4.2(28) [4.2K]
$[\text{Np}^{\text{IV}}\text{Cp}_3(n\text{-C}_4\text{H}_9)]$	IV	2.7(7) [4.2K]
$[\text{Np}^{\text{IV}}(\text{MeCp})\text{Cl}_3(\text{THF})_2]$	IV	-3.1(7) [4.2K]



Std. dev. /  $\text{mms}^{-1}$

5.17

4.63

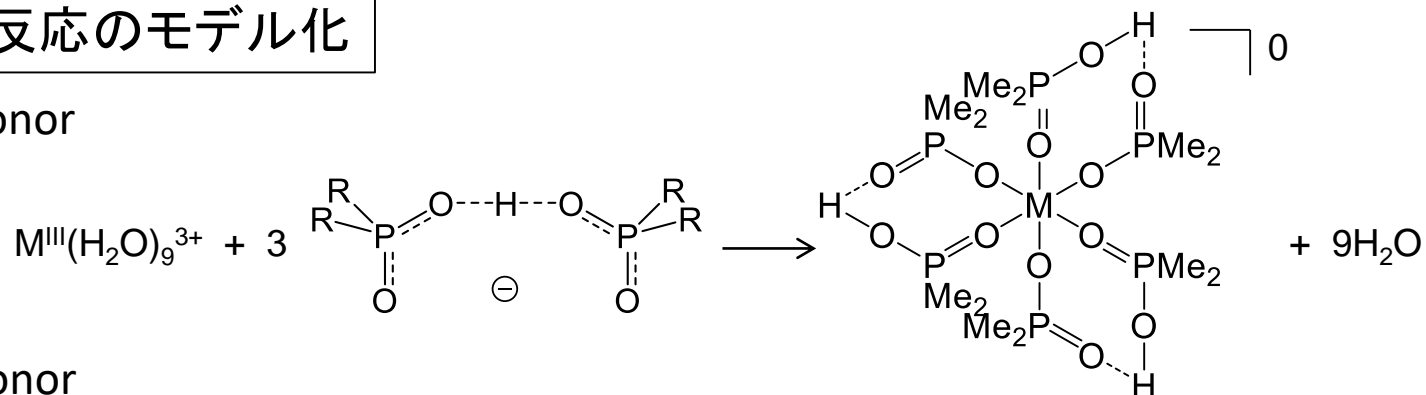
3.48

# Ln/MAの化学分離

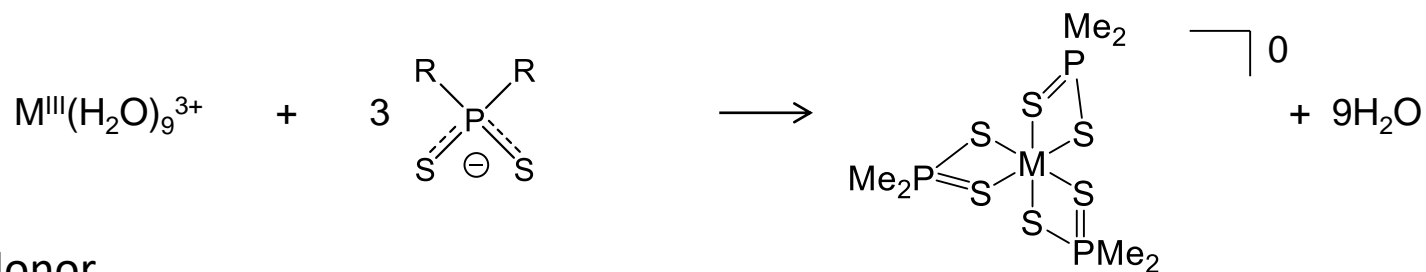
## Computational details

### 錯形成反応のモデル化

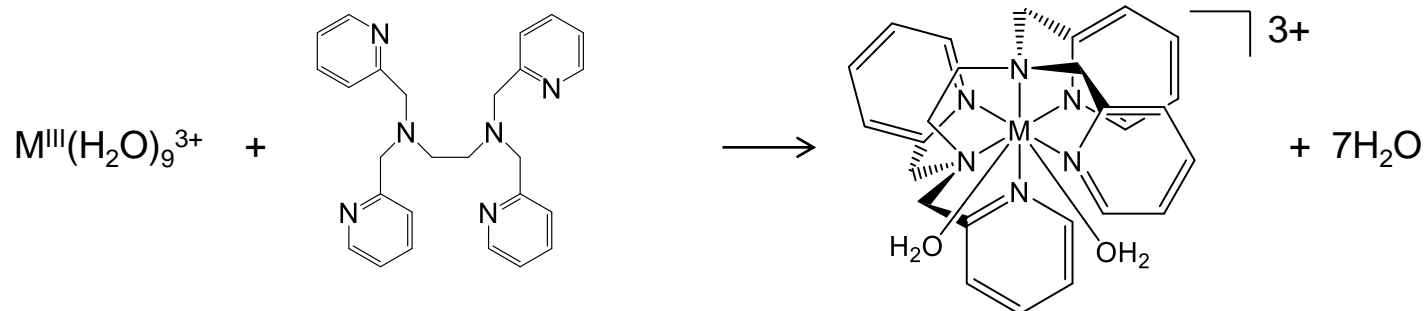
i) O-donor



ii) S-donor



iii) N-donor



**Scheme** 水溶液中におけるO, S, NドナーによるEu, Am錯体の錯形成反応.

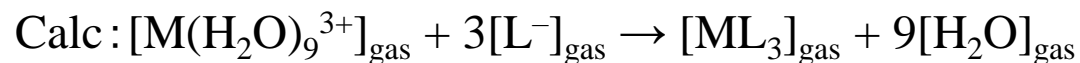
# Ln/MAの化学分離

## Results

### Eu/Am分離挙動の再現

**Table 3** Calculated  $\Delta\Delta G_{\text{Eu/Am}}$  values obtained by each method

Method	$\Delta\Delta G_{\text{Eu/Am}} / \text{kJ mol}^{-1}$		
	O-donor	S-donor	N-donor
BP86	-20.8	-14.3	-11.8
B3LYP	-22.1	+0.8	-0.1
B2PLYP	-20.9	+23.5	+7.6
<b>Exp.</b>	<b>-8.1</b> <sup>[3]</sup>	<b>+21.5</b> <sup>[6]</sup>	<b>+11.4</b> <sup>[5]</sup>



$$\Delta G_{\text{calc}} = G^{\text{ele}}(\text{product}) - G^{\text{ele}}(\text{reactant})$$

$$\Delta\Delta G_{\text{Eu/Am}} = \Delta G_{\text{calc}}(\text{Eu}) - \Delta G_{\text{calc}}(\text{Am})$$



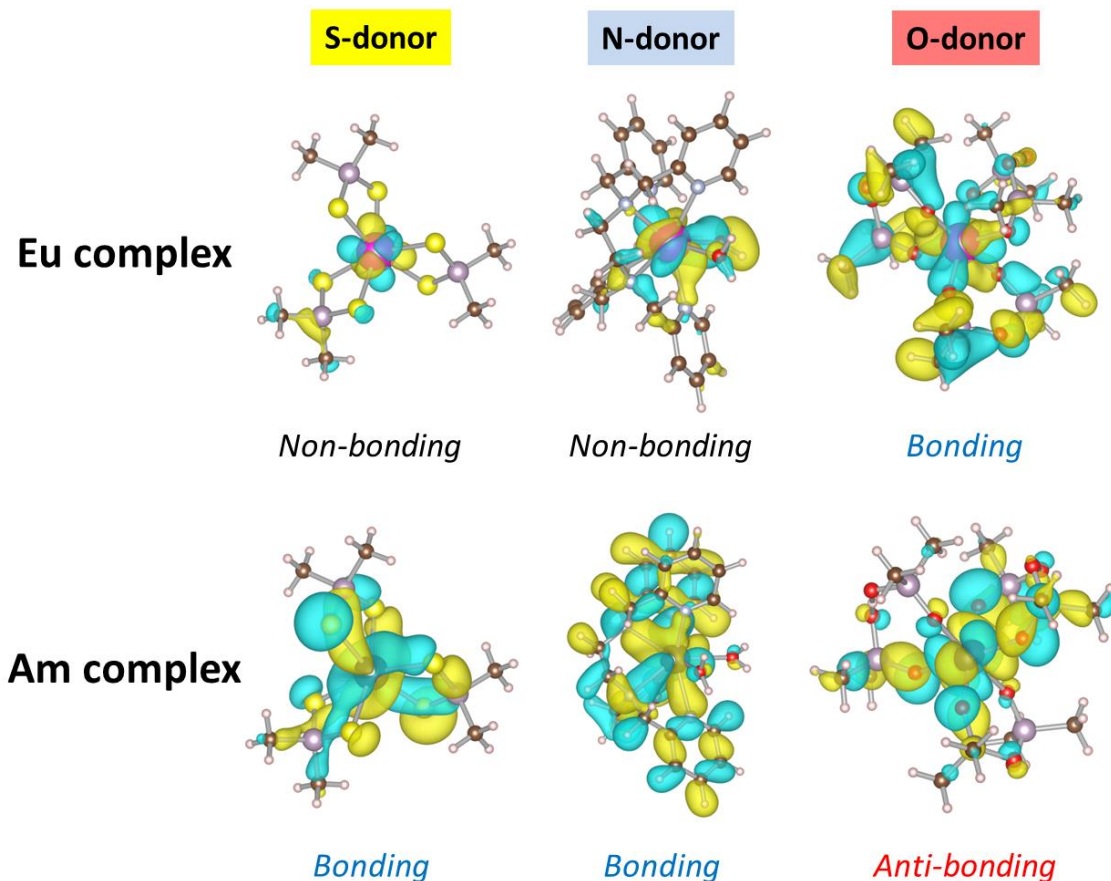
# Ln/MAの化学分離

## Discussion

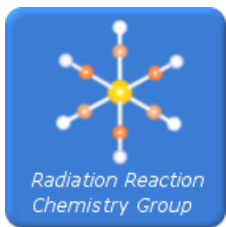
Eu/Am分離挙動の再現

$\Delta G(\text{Eu}) - \Delta G(\text{Am})$  (kJ mol<sup>-1</sup>)

	S-donor	N-donor	O-donor
Calc.	23.5	7.6	-20.9
(Exp.)	21.5	11.4	-7.1



M. Kaneko, S. Miyashita, and S. Nakashima, *Inorg. Chem.*, **54**, 7103-7109 (2015).



# 放射線反応化学研究グループ



<http://home.hiroshima-u.ac.jp/radichem/>